

# Le calcul de Schubert selon Schubert

Felice Ronga

20 octobre 2018

## Résumé

We try to understand and justify Schubert calculus the way Schubert did it.

## 1 Introduction

Dans son livre [7] “Kalkül der abzählende Geometrie”, paru en 1879, le Dr. Hermann C. H. Schubert a présenté une méthode pour résoudre des problèmes de géométrie énumérative, qu’il a appliquée avec succès à un grand nombre de cas.

Le 15ème problème de Hilbert proposait de donner des bases rigoureuses pour justifier les résultats de Schubert ; cela a été fait dans une large mesure, par la théorie de l’intersection (voir [4],[5], [2]), et la plupart des résultats des calculs de Schubert ont pu être confirmés.

Notre propos ici est de comprendre et justifier la méthode même que Schubert a utilisée. On retracera aussi ses calculs dans quelques cas simples, dans le but d’illustrer sa démarche. Dans [3] on trouve un traitement très général, basé sur les multisingularités d’applications, de problèmes de géométrie énumérative, qui recouvrent entre autres les résultats de Schubert concernant les contacts de sous-espaces linéaires avec une hypersurface d’un espace projectif.

Voici sommairement en quoi consiste la méthode de Schubert. On distingue tout d’abord des éléments de base de l’espace projectif complexe : points, plans, droites (dans l’ordre de complexité des ensembles de ces éléments). On représente par des symboles, disons  $x$ ,  $y$ , des conditions (en allemand : *Bedingungen*) que doivent satisfaire des objets géométriques ; le produit  $x \cdot y$  de deux conditions représente la condition que  $x$  et  $y$  doivent être satisfaites, la somme  $x + y$  représente la condition que  $x$  ou  $y$  est satisfaite. Les conditions que l’on peut mettre sur les éléments de base, à l’aide d’autres éléments de base (par exemple : les droites qui passent par un point) satisfont un certain nombre de formules, que l’on peut déterminer assez simplement par des raisonnements géométriques, et des règles de calcul élémentaire.

Pour résoudre un problème de géométrie énumérative, on s’efforce de l’exprimer en termes de conditions sur les éléments de base, en ayant éventuellement recours à des situations dégénérées, géométriquement plus simples à traiter, quitte à devoir tenir compte de multiplicités des solutions. Schubert justifie cette façon de procéder par le principe de la conservation du nombre (*Prinzip des Erhaltung der Anzahl*, [7, § 4, page 12]), qui dit en gros que dans les cas dégénérés, le nombre de solutions d’un problème énumératif est conservé, pourvu qu’il soit fini. Comme toute justification de ce principe, Schubert se base sur l’analogie algébrique : le nombre de solutions d’une équation (polynômiale) ne change pas lorsqu’on en fait varier les coefficients, sauf si elle devient une identité, auquel cas on a une infinité de solutions.

La force de la démarche de Schubert réside dans le fait que la notation symbolique, et les opérations sur les symboles, contiennent en germe la notion d’anneau de cohomologie (ou si l’on préfère, l’anneau de Chow). Une condition  $x$  représente en fait une famille de conditions, que l’on peut interpréter comme une classe cohomologie d’un espace de configurations. Il est sous-entendu que lorsqu’on fait un produit, disons  $x \cdot y$ , les ensembles des objets auxquels s’adressent ces conditions doivent être en position générale (ou tout au moins leur intersection doit avoir la bonne dimension, quitte à invoquer une multiplicité). Un exemple :  $p$  désigne la condition, adressée aux points de  $\mathbb{P}^3$ , d’être contenus dans un plan ;  $p_g$  désigne la condition que les points soient sur la droite  $g$  ; on a alors :  $p \cdot p = p_g$ . En d’autres termes, le plan qui exprime la condition  $p$  est générique ; sans cela on aurait  $p \cdot p = p$ . En somme, l’ambiguïté éclairée du calcul avec les symboles est ce qui fait son efficacité. Il faut relever qu’avec quelques bons principes et des raisonnements géométriques simples,

Schubert est parvenu à obtenir une quantité de résultats remarquables, pour la justification desquels, selon les critères de rigueur actuels, des développements importants ont été nécessaires.

En plus des formules sur les éléments de base, Schubert a établi ce qu'il a appelé *Coinzidenzformeln*, principalement la formule 1) de la page 44 de [7], qui est un prototype de formule d'intersection résiduelle, telle qu'on la trouve par exemple dans [2, théorème 9.2]. Elle lui a permis entre autres d'établir des formules de coïncidences multiples (*mehrfache Coinzidenzen*), avec une efficacité et une rigueur qui n'ont rien à envier à leurs versions plus récentes que l'on trouve par exemple dans [3].

En terme de cohomologie, si  $X$  est un espace de configuration d'objets géométriques (par exemple les points d'une surface, l'espace des coniques), une condition  $x$  peut être représentée comme la classe duale à une classe d'homologie de cycles  $[\Omega_x]$  de  $X$ . Alors la condition  $x \cdot y$  représente la classe duale à  $\Omega_x \cap \Omega_y$ , pourvu que ces deux cycles soient en position générale. Les formules que Schubert démontre pour les éléments de base correspondent aux calculs des anneaux de cohomologie de l'espace projectif complexe  $\mathbb{P}^3$ , de son dual  $\check{\mathbb{P}}^3$ , de la grassmannienne  $\mathcal{G}$  des droites de  $\mathbb{P}^3$ , et finalement de l'espace  $\mathcal{PS}$  (Punkt und Strahl), constitué des paires formées d'une droite de l'espace projectif et d'un point sur la droite.

Se donner une droite de  $\mathbb{P}^3$  revient à se donner un sous-espace vectoriel de dimension 2 de  $\mathbb{C}^4$ , et donc on peut aussi regarder la grassmannienne  $\mathcal{G}$  comme l'ensemble des sous-espaces vectoriels de dimension 2 de  $\mathbb{C}^4$ ; on voit alors qu'on a un fibré vectoriel de rang 2 sur  $\mathcal{G}$ , appelé fibré tautologique, qui est constitué des paires  $(\alpha, v)$ , où  $\alpha \in \mathcal{G}$  et  $v \in \alpha$ . En fait,  $\mathcal{PS}$  n'est autre que le fibré projectif associé à  $\eta$ .

Notons que Schubert n'avait pas introduit de notation pour désigner les espaces  $\mathbb{P}^3$ ,  $\check{\mathbb{P}}^3$ ,  $\mathcal{G}$  et  $\mathcal{PS}$ , puisqu'ils constituent en quelque sorte l'univers ambiant.

## 2 Formules pour les espaces de configurations de base

On introduit des symboles qui désignent des objets géométriques dans les divers espaces de base  $\mathbb{P}^3$ ,  $\check{\mathbb{P}}^3$ ,  $\mathcal{G}$  ou  $\mathcal{PS}$ . Ces mêmes symboles désigneront aussi des conditions imposées aux objets de base. Les ensembles ainsi définis engendrent l'homologie des espaces de base; dans le cas de  $\mathbb{P}^3$  et  $\mathcal{G}$  ils forment même une décomposition cellulaire minimale. En exprimant leurs intersections en termes des éléments de base, on aura déterminé l'anneau de cohomologie de ces espaces.

Nous utiliserons évidemment la même notation que Schubert, basée sur les noms allemands des divers objets. Aussi est-il utile de rappeler quelques mots de la langue allemande :

Punkt :	point
Gerade :	droite
Ebene :	plan
Strahl :	littéralement : rayon; ici désigne le plus souvent l'ensemble des droites dans un plan fixé, passant par un point fixé, c'est-à-dire un pinceau de droites. Parfois, ce mot est synonyme de droite, comme dans "Punkt und Strahl"

Notons enfin que, à défaut d'un mot plus précis, nous utiliserons le mot *condition*, traduction du mot allemand *Bedingung*, pour signifier une exigence à laquelle des objets géométriques sont astreints.

Nous travaillerons avec l'anneau de cohomologie, mais on peut tout aussi bien utiliser l'anneau de Chow. Lorsque des formules sont numérotées, leur numéro est le même que dans [7].

### 2.1 L'espace projectif complexe $\mathbb{P}^3$

Voici les conditions de base (ou simples) que l'on peut mettre sur les points de l'espace :

Notation	Condition
$p$	le point doit être dans un plan donné
$p_g$	le point doit être sur une droite donnée
$P$	le point lui-même est donné

On vérifie facilement les relations :

$$1) p^2 = p_g \quad , \quad 2) p^3 = p \cdot p_g \quad , \quad 3) p \cdot p_g = P \quad , \quad 4) p^3 = P \quad .$$

A titre d'exemple, l'interprétation géométrique pédante de la première formule est la suivante : soient  $e_1, e_2 \subset \mathbb{P}^3$  deux plans et

$$\Omega_{e_i} = \{P \in \mathbb{P}^3 \mid P \in e_i\} \quad , \quad i = 1, 2 \quad .$$

Alors  $p^2$  désigne les points de l'intersection  $\Omega_{e_1} \cap \Omega_{e_2}$  lorsque  $e_1$  et  $e_2$  sont en position générale, c'est-à-dire lorsque  $e_1$  et  $e_2$  se coupent en une droite; l'ensemble des points astreints à se trouver sur cette droite est noté  $p_g$ .

Voici maintenant l'interprétation en cohomologie de ces formules. Désignons par  $t \in H^2(\mathbb{P}^3, \mathbb{Z})$  la classe duale au cycle constitué par les points d'un plan de  $\mathbb{P}^3$ ; alors  $t^2$  est la classe duale à une droite et  $t^3$  est la classe duale à un point de  $\mathbb{P}^3$ .

Notons que si on choisit un drapeau  $p \in g \subset e$ , en notant par  $\Omega_p, \mathcal{O}_g$  et  $\mathcal{O}_e$  les ensembles de points correspondants, on a que  $\mathcal{O}_p \subset \mathcal{O}_g \subset \mathcal{O}_e \subset \mathbb{P}^3$  est une décomposition cellulaire de  $\mathbb{P}^3$ .

On peut traiter de manière analogue le cas de  $\check{\mathbb{P}}^3$ , l'espace des plans de  $\mathbb{P}^3$  :

Notation	Condition
$e$	le plan doit passer par un point donné
$e_g$	le plan doit contenir une droite donnée
$E$	le plan lui-même est donné

On a les formules :

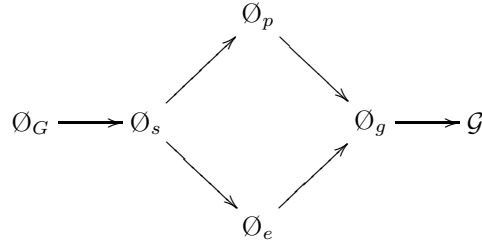
$$5) \quad e^2 = e_g \quad , \quad 6) \quad e^3 = e \cdot e_g \quad , \quad 7) \quad e \cdot e_g = E \quad , \quad 8) \quad e^3 = E \quad .$$

## 2.2 La grassmannienne $\mathcal{G}$ des droites de $\mathbb{P}^3$

Voici les conditions de base :

Notation	Condition	Dimension
$g$	la droite doit couper une droite donnée	3
$g_e$	la droite doit se trouver dans un plan donné	2
$g_p$	la droite doit passer par un point donné	2
$g_s$	la droite doit appartenir à un pinceau donné	1
$G$	la droite elle-même est donnée	0

Si on choisit un drapeau  $P \in g \subset e \subset \mathbb{P}^3$ , notons  $\mathcal{O}_g, \mathcal{O}_e, \mathcal{O}_p, \mathcal{O}_s, \mathcal{O}_G = \{G\}$  les droites satisfaisant respectivement les conditions  $g, g_e, g_p, g_s, G$ . On a un diagramme d'inclusions :



et les  $\mathcal{O}_i$  sont les cellules d'une décomposition cellulaire de  $\mathcal{G}$  (voir [6, § 6]). On appelle ces cellules *cycles de Schubert*.

Pour exprimer  $g^2$  en termes des conditions de base, on suppose que les deux droites données  $g$  et  $g'$  se coupent en un point  $P$ ; en prenant pour  $e$  le plan de  $g$  et  $g'$  on a :

$$\mathcal{O}_g \cap \mathcal{O}_{g'} = \mathcal{O}_p \cup \mathcal{O}_e$$

et de là Schubert conclut, en invoquant le principe de la conservation du nombre, la formule :

$$9) \quad g^2 = g_p + g_e \quad .$$

On va justifier cette formule de deux manières : d'abord, en exprimant les calculs en cohomologie. Ensuite, en montrant que  $\mathcal{O}_g$  et  $\mathcal{O}_{g'}$  se coupent transversalement en dehors du lieu  $\mathcal{O}_s$  des droites du plan  $e$  passant par  $P$ , qui est de dimension 1 ; ceci justifie en fait la démarche de Schubert : malgré que la situation où  $g$  et  $g'$  sont coplanaires soit dégénérée, il n'y a pas de multiplicité à prendre en compte dans l'intersection.

Notons que le groupe linéaire  $\mathcal{G}\ell(4, \mathbb{C})$  agit transitivement sur  $\mathcal{G}$ . Il suit de là que si l'on prend des droites, des points ou des plans génériques, les cycles de Schubert correspondants sont transverses. On vérifie alors facilement les formules suivantes :

$$\begin{aligned} 10) \quad g \cdot g_p &= g_s \quad , \quad 11) \quad g \cdot g_e = g_s \\ 12) \quad g \cdot g_s &= G \quad , \quad 13) \quad g_p \cdot g_e = 0 \end{aligned}$$

En multipliant la formule 9) par  $g$  et en utilisant 10) et 11) on obtient :

$$14) \quad g^3 = g \cdot g_p + g \cdot g_e \quad , \quad 15) \quad g^3 = 2 \cdot g_s$$

En multipliant encore par  $g$  :

$$16) \quad g^4 = 2 \cdot g \cdot g_s = 2 \cdot g^2 \cdot g_e = 2 \cdot g^2 \cdot g_p = 2 \cdot g_p^2 = 2 \cdot g_e^2 = 2 \cdot G \quad .$$

Notons que la formule  $g^4 = 2 \cdot G$  nous dit que le nombre de droites qui s'appuient sur 4 droites données est égal à 2. C'est un premier exemple, souvent cité, d'application du calcul de Schubert à la géométrie énumérative.

### 2.2.1 Cohomologie de $\mathcal{G}$

Regardons la grassmannienne  $\mathcal{G}$  comme l'espace des sous-espaces vectoriels de dimension 2 de  $\mathbb{C}^4$ . Soit  $\eta = (E \xrightarrow{\pi} \mathcal{G})$  le fibré tautologique, fibré vectoriel de rang 2 :

$$E = \{(\alpha, v) \in \mathcal{G} \times \mathbb{C}^4 \mid v \in \alpha\} \quad , \quad \pi(\alpha, v) = \alpha \quad .$$

Soient  $c_i(\eta) \in H^{2i}(\mathcal{G}, \mathbb{Z})$ ,  $i = 1, 2$ , les classes de Chern de  $\eta$ , et  $s_i(\eta) \in H^{2i}(\mathcal{G}, \mathbb{Z})$ ,  $i = 1, \dots, 4$ , les classes de Segre (voir par exemple [2]). Elles sont liées par la relation :

$$(1 + c_1(\eta) + c_2(\eta)) \cdot (1 + s_1(\eta) + s_2(\eta) + s_3(\eta) + s_4(\eta)) = 1 \quad .$$

Désignons par  $\mathbb{I}^n$  le fibré trivial de rang  $n$ , de base un espace non spécifié qu'on peut déduire du contexte. Puisque  $\eta \subset \mathbb{I}^4$ , on peut poser  $\eta' = \mathbb{I}^4/\eta$ ; alors  $c(\eta') = s(\eta)$ .

Soient maintenant  $x_1$  et  $x_2$  des variables formelles et soient  $y_1, y_2 \in \mathbb{Z}[x_1, x_2]$  définis par la relation :

$$(1 + x_1 + x_2) \cdot (1 + y_1 + y_2 + y_3 + y_4) = 1$$

ce qui revient à poser :

$$y_1 = -x_1 \quad , \quad y_2 = x_1^2 - x_2 \quad , \quad y_3 = 2x_1x_2 - x_1^3 \quad , \quad y_4 = x_1^4 - x_2^2 + 3x_1^2x_2$$

comme on vérifie facilement. On peut montrer (voir [8, proposition page 69]) que l'homomorphisme d'anneaux :

$$\mathbb{Z}[x_1, x_2] \rightarrow H^*(\mathcal{G}, \mathbb{Z}) \quad , \quad x_i \mapsto c_i(\eta)$$

induit un isomorphisme d'anneaux :

$$\mathbb{Z}[x_1, x_2]/I(y_3, y_4) \xrightarrow{\cong} H^*(\mathcal{G}, \mathbb{Z})$$

où  $I(y_3, y_4)$  désigne l'idéal engendré par  $y_3$  et  $y_4$ . On voit que  $H^*(\mathcal{G}, \mathbb{Z})$  est engendré en tant que groupe par :

$$c_1 \quad , \quad c_1^2 \quad , \quad c_2 \quad , \quad c_1c_2 \quad , \quad c_2^2$$

et la structure d'anneau est déterminée par les relations  $2c_1c_2 - c_1^3 = 0$ ,  $c_1^4 - c_2^2 + 3c_1^2c_2 = 0$ , d'où on déduit encore que  $2c_1^2c_2 - c_1^4 = 0$  et  $c_1^2c_2 = c_2^2$ .

**Remarque.** Dans [8, proposition page 69], on affirme que  $H^*(\mathcal{G}) \simeq \mathbb{Z}[c_1, c_2]/I(\{s_j, j > 2\})$  où les  $s_j$  sont définies pour tout entier positif par la relation :

$$(1 + c_1 + c_2)(1 + s_1 + s_2 + \cdots + s_j + \cdots) = 1$$

à valoir dans l'anneau gradué  $\mathbb{Z}[c_1, c_2]$ . Mais on voit facilement que  $s_j \in I(s_1, \dots, s_{j-1})$ , et donc

$$I(\{s_j, j > 2\}) = I(s_3, s_4) \quad .$$

On va exprimer les classes duales par Poincaré des diverses cellules en termes des classes de Chern et de Segre de  $\eta$ . Voici déjà le résultat :

Notation symbolique	-	$g$	$p$	$e$	$s$	$G$
Cycle	$\mathcal{G}$	$\mathcal{O}_g$	$\mathcal{O}_p$	$\mathcal{O}_e$	$\mathcal{O}_s$	$\mathcal{O}_G$
Classe duale	1	$s_1$	$s_2$	$c_2$	$s_1 c_2$	$c_2^2 = s_2^2$

Pour cela, appelons  $v_i, i = 1, \dots, 4$  une base de  $\mathbb{C}^4$ ; on désignera par  $\langle v_{i_1}, \dots, v_{i_k} \rangle$  l'espace vectoriel engendré par  $v_{i_1}, \dots, v_{i_k}$ . On va exprimer les diverses conditions avec les éléments du drapeau

$$P = \langle v_1 \rangle \subset g = \langle v_1, v_2 \rangle \subset e = \langle v_1, v_2, v_3 \rangle \subset \mathbb{C}^4$$

$\mathcal{O}_g$

Considérons le morphisme de fibrés  $\varphi_g : \eta \rightarrow \mathbb{I}^4 / \langle v_1, v_2 \rangle$  induit par l'inclusion naturelle de  $\eta$  dans  $\mathbb{I}^4$ . En se rappelant que  $g$  est la droite qui est le projectivisé de l'espace vectoriel  $\langle v_1, v_2 \rangle$ , on voit que  $\mathcal{O}_g = \Sigma(\varphi_g)$ , et donc sa classe duale est  $s_1(\eta)$ .

$\mathcal{O}_e$

On considère le morphisme naturel  $\varphi_e : \eta \rightarrow \mathbb{I}^4 / \langle v_1, v_2, v_3 \rangle$ , qui équivaut à une section  $\sigma$  de  $\eta^* \otimes \mathbb{I}^4 / \langle v_1, v_2, v_3 \rangle$ , et  $\mathcal{O}_e$  est égal aux zéros de cette section, ce qui fait que sa classe duale vaut  $c_2(\eta^*) = c_2(\eta)$ .

$\mathcal{O}_p$

Ici on prend le morphisme naturel  $\varphi_p : \langle v_1 \rangle \rightarrow \mathbb{I}^4 / \eta$ , qu'on peut voir comme section de  $\mathbb{I}^4 / \eta$ ; ses zéros constituent  $\mathcal{O}_p$ , donc sa classe duale vaut  $c_2(\mathbb{I}^4 / \eta) = s_2(\eta)$ .

$\mathcal{O}_s$  et  $\mathcal{O}_G$

Soient  $e'$  le plan projectif correspondant à  $\langle v_1, v_2, v_4 \rangle$  et  $g'$  la droite projective correspondante à  $\langle v_1, v_4 \rangle$ . On remarque que  $\mathcal{O}_s = \mathcal{O}_{g'} \cap \mathcal{O}_e$  et  $\mathcal{O}_G = \mathcal{O}_e \cap \mathcal{O}_{e'}$ , les intersections étant transverses. On en déduit que les classes duales sont respectivement  $s_1 c_2$  et  $c_2^2$ .

Par exemple, on peut retrouver la formule 9) en remarquant que  $s_1^2 = c_1^2 = (c_1^2 - c_2) + c_2 = s_2 + c_2$ .

Aussi  $s_1^4 = s_1(-c_1^3) = s_1(-2c_1 c_2) = 2c_1^2 c_2 = 2c_2^2$  nous redémontre que  $g^4 = 2G$ .

On peut retrouver de façon analogue les autres formules.

## 2.2.2 Justification par le principe de la conservation du nombre

Pour introduire des coordonnées locales sur  $\mathcal{G}$ , on choisit un sous-espace vectoriel  $\alpha_0 \subset \mathbb{C}^4$  de dimension 2 et un espace vectoriel supplémentaire  $\alpha'$ . On désigne par  $\text{Hom}(\alpha_0, \alpha')$  l'espace des applications linéaires de  $\alpha_0$  dans  $\alpha'$ ; on définit  $\varphi : \text{Hom}(\alpha_0, \alpha') \rightarrow \mathcal{G}$  en associant à  $A \in \text{Hom}(\alpha_0, \alpha')$  son graphe, ce qui définit une bijection sur l'ouvert

$$U_{\alpha_0, \alpha'} = \{\beta \in \mathcal{G} \mid \beta \cap \alpha' = \{0\}\} \quad .$$

On vérifie que l'on définit ainsi un atlas sur  $\mathcal{G}$ ; on notera par  $\ell_A$  la droite projective correspondante à  $A \in \text{Hom}(\alpha_0, \alpha')$ .

**Lemme.** Soient  $A, B \in \text{Hom}(\alpha_0, \alpha')$  et supposons que  $\ell_A \in \mathcal{O}_{\ell_B}$ . Alors il existe une droite vectorielle  $\ell_0 \subset \alpha_0$  telle que  $A|_{\ell_0} = B|_{\ell_0}$ .

$\ell_A$  est un point régulier de  $\mathcal{O}_{\ell_B}$  si et seulement si  $A \neq B$ , et si c'est le cas, on a :

$$T(\mathcal{O}_{\ell_B})_{\ell_A} = \{\bar{A} \in \text{Hom}(\alpha_0, \alpha') \mid \bar{A}|_{\ell_0} : \ell_0 \rightarrow \alpha' / \text{Im}(A - B) \text{ est nulle} \}$$

*Preuve:* Au lieu de décrire  $\mathcal{O}_{\ell_B}$  au voisinage de  $\ell_A$ , il est plus commode de se placer dans l'espace  $\text{Hom}(\alpha_0, \alpha') \times \text{Hom}(\ell_0, \ell')$ , où  $\ell'$  est une droite vectorielle supplémentaire à  $\ell_0$  dans  $\alpha_0$ . Désignons par  $i_{\ell_0} : \ell_0 \subset \alpha_0$  l'inclusion, par  $p : \text{Hom}(\alpha_0, \alpha') \times \text{Hom}(\ell_0, \ell' \rightarrow \text{Hom}(\alpha_0, \alpha'))$  la projection; l'équation

$$(A' - B) \circ (i_{\ell_0}) + \lambda = 0 \quad , \quad A' \in \text{Hom}(\alpha_0, \alpha'), \lambda \in \text{Hom}(\ell_0, \ell')$$

définit un sous-ensemble  $\tilde{\mathcal{O}}$  qui est en bijection par  $p$  avec  $\Omega_B \cap U_{\alpha_0, \alpha'}$ , sauf au-dessus de  $A' = B$ . Si on dérive cette équation en  $A' = A$  on trouve :

$$\overline{A} \circ i_{\ell_0} + (A - B) \circ \overline{\lambda} = 0 \quad ;$$

si  $A \neq B$ ,  $\text{Ker}(A - B) = \ell_0$  et alors

$$\exists \overline{\lambda} \text{ tel que } \overline{A} \circ i_{\ell_0} + (A - B) = 0 \iff \overline{A} \circ i_{\ell_0} : \ell_0 \rightarrow \alpha' / \text{Im}(A - B) \text{ est nulle}$$

*q.e.d.*

**Proposition.** Soient  $\ell_{B_1}$  et  $\ell_{B_2}$  deux droites distinctes, se coupant en un point  $P_{1,2}$ . Alors  $\mathcal{O}_{\ell_{B_1}}$  et  $\mathcal{O}_{\ell_{B_2}}$  se coupent transversalement en dehors de l'ensemble des droites par  $P_{1,2}$  se trouvant dans le plan par  $\ell_{B_1}$  et  $\ell_{B_2}$ .

*Preuve:* Soit  $\ell_A \in \mathcal{O}_{\ell_{B_1}} \cap \mathcal{O}_{\ell_{B_2}}$ . Supposons d'abord que  $\ell_A$  passe par  $P_{1,2}$ , et donc ne soit pas dans le plan de  $\ell_{B_1}$  et  $\ell_{B_2}$ . Soit  $\ell_{1,2} \subset \alpha_0$  la droite vectorielle correspondante à  $P_{1,2}$ , c'est-à-dire telle que  $B_1|_{\ell_{1,2}} = B_2|_{\ell_{1,2}} = A|_{\ell_{1,2}}$ . Il suit du lemme que

$$T(\mathcal{O}_{\ell_{B_1}})_A \cap T(\mathcal{O}_{\ell_{B_2}})_A = \{ \overline{A} \mid \overline{A}|_{\ell_{1,2}} : \ell_{1,2} \rightarrow \alpha' / \text{Im}(A - B_i) \text{ est nulle}, i = 1, 2 \}$$

Puisque  $A - B_1$  et  $A - B_2$  ont même noyau  $\ell_{1,2}$ , si elles avaient même image on aurait :

$$A - B_1 = \lambda A - B_2$$

où  $\lambda$  est un scalaire, et  $\lambda \neq 1$ , sans quoi  $B_1 = B_2$ . On en déduirait que

$$A = \frac{1}{1 - \lambda} B_1 - \frac{\lambda}{1 - \lambda} B_2$$

et donc  $\ell_A$  serait dans le plan par  $\ell_{B_1}$  et  $\ell_{B_2}$ , contradiction. On a donc bien que les deux conditions que  $\overline{A}|_{\ell_0} \rightarrow \alpha' / \text{Im}(A - (B_i))$  soient nulles pour  $i = 1, 2$  sont indépendantes, et donc on a transversalité.

Si  $\ell_A$  est dans le plan de  $\ell_{B_1}$  et  $\ell_{B_2}$  mais ne passe pas par  $P_{1,2}$ , soient  $P_1 = \ell_A \cap \ell_{B_1}$  et  $P_2 = \ell_A \cap \ell_{B_2}$  et soient  $\ell_1, \ell_2 \subset \alpha_0$  les droites déterminées par :

$$(A - B_1)|_{\ell_1} = 0 \quad , \quad (A - B_2)|_{\ell_2} = 0 \quad .$$

Alors :

$$T(\mathcal{O}_{\ell_{B_1}})_A \cap T(\mathcal{O}_{\ell_{B_2}})_A = \{ \overline{A} \mid \overline{A}|_{\ell_i} : \ell_i \rightarrow \alpha' / \text{Im}(A - B_i) \text{ est nulle}, i = 1, 2 \}$$

et comme  $\ell_1 \neq \ell_2$ , ces deux conditions sont indépendantes et on a transversalité.

*q.e.d.*

Soient  $P, Q, R, S \in \mathbb{P}^3$  4 points non coplanaires, dont 3 d'entre eux ne sont jamais alignés. Alors, si on prend les quatre droites  $\ell_{P,Q}$  par  $P$  et  $Q$ ,  $\ell_{Q,R}$ ,  $\ell_{R,S}$  et  $\ell_{S,P}$ , on voit que les cycles de Schubert correspondant se coupent transversalement en les deux droites  $\ell_{P,R}$  et en  $\ell_{Q,S}$ . En effet, les intersections deux à deux sont transverses par la proposition 1, et la transversalité des intersections restantes est élémentaire à vérifier (par exemple : intersection de l'ensemble des droites dans le plan par  $P, Q, S$  et l'ensemble des droites dans  $Q, R, S$ ).

Le problème énumératif de trouver le nombre de droites s'appuyant sur quatre droites données est souvent cité en exemple pour illustrer les méthodes de Schubert (voir [5]). Ce qui précède permet de justifier le recours au cas un peu dégénéré, où les 4 droites données se coupent par paires. Par contre, comme Alexandre Gabard me l'a fait remarquer, si les quatre droites données sont les droites du même système d'une quadrique lisse, toute droite de l'autre système rencontre ces quatre droites, et il y a donc une infinité de solutions : les 4 droites données ne sont pas en position générale du point de vue de ce problème.

Pour voir un cas dégénéré ayant une seule solution avec multiplicité 2, on peut prendre pour  $\ell_1, \ell_2$  et  $\ell_3$  trois droites du même système sur une quadrique lisse, pour  $\ell_4$  une droite tangente en un point  $P$  à la quadrique (mais pas contenue dedans). La seule solution est alors la droite par  $P$  qui appartient à l'autre système de droites.

### 2.3 L'espace $\mathcal{PS}$ des points sur les droites de $\mathbb{P}^3$

Rappelons que l'espace  $\mathcal{PS}$  est constitué des couples formés par un point sur une droite de l'espace. Pour exprimer des conditions, on va utiliser des symboles de la forme  $xy$ , où  $x$  est un symbole qui exprime une condition sur les points,  $y$  sur les droites. Ainsi, le symbole  $pg$  désigne les couples formés d'un point et une droite, le point étant astreint à se trouver dans un plan, la droite devant s'appuyer sur une droite donnée ; si on note  $\mathcal{O}_{pg}$  l'ensemble de ces couples, et encore  $g$  une droite et  $e$  un plan provisoirement fixés :

$$\mathcal{O}_{pg} = \{(\ell, Q) \in \mathcal{PS} \mid \ell \cap g \neq \emptyset \quad , \quad Q \in e\} \quad .$$

Remarquons que

$$\mathcal{O}_{pg} = \{(\ell, Q) \in \mathcal{PS} \mid Q \in g\} \cup \{(\ell, Q) \in \mathcal{PS} \mid \ell \subset e\}$$

d'où on déduit la formule ([7, page 25]) :

$$\text{I) } pg = p_g + g_e = p^2 + g_e \quad .$$

Cette formule est fondamentale, dans le sens que toute autre formule est conséquence de celle-ci et des formules déjà obtenues dans  $\mathcal{G}$  et  $\mathbb{P}^3$  ; la raison en est expliquée au § suivant. Établissons tout de même les formules suivantes ; en multipliant I) par  $p$ , puis par  $g$  on obtient :

$$\begin{aligned} p^2g &= pp_g + pg_e = p^3 + pg_e \\ pg_e + pg_p &= pg^2 = p_gg + g_e g = p_gg + g_s = p^2g + g_s \end{aligned}$$

et en ajoutant les extrémités gauches et droites de ces deux lignes on a la formule

$$\text{II) } pg_p = p^3 + g_s$$

et de manière analogue on trouve encore la formule (voir [7, page 26]) :

$$\text{III) } pg_s = p^2g_p = G + p^3g = G + p^2g_e \quad .$$

**Justification par la cohomologie** Si on regarde  $\mathcal{G}$  comme l'espace des 2-plans de  $\mathbb{C}^4$ ,  $\mathcal{PS}$  est le fibré en projectif associé au fibré tautologique  $\eta$  de rang 2 sur  $\mathcal{G}$ . On peut définir le fibré en droite tautologique  $\gamma = (F \xrightarrow{\pi} \mathcal{PS})$  par

$$F = \{(\alpha, \ell, v) \in \mathcal{G} \times \mathbb{P}^3 \times \mathbb{C}^4 \mid \ell \subset \alpha, v \in \ell\} \quad , \quad \pi(\alpha, \ell, v) = (\alpha, \ell) \quad .$$

Posons  $t = c_1(\gamma)$  ; remarquons que  $H^*(\mathcal{PS})$  est un  $H^*(\mathcal{G})$ -module via l'homomorphisme induit par la projection naturelle  $\mathcal{PS} \rightarrow \mathcal{G}$ . On sait (voir [8, théorème page 62]) que l'homomorphisme d'anneaux

$$H^*(\mathcal{G})[t] \rightarrow H^*(\mathcal{PS}) \quad , \quad t \mapsto c_1(\gamma)$$

induit un isomorphisme

$$H^*(\mathcal{G})[t]/I(t^2 - tc_1(\eta) + c_2(\eta)) \xrightarrow{\simeq} H^*(\mathcal{PS})$$

où  $I(t^2 - tc_1(\eta) + c_2(\eta))$  désigne l'idéal engendré par le polynôme  $t^2 - tc_1(\eta) + c_2(\eta)$ , qui d'ailleurs n'est autre que  $c_2(\eta/\gamma)$  si on fait la substitution  $t = c_1(\gamma)$ . Il est nul parce que  $\gamma$  est un sous-fibré de  $\eta$ .

Prenons la liberté d'exprimer par le même symbole une condition sur les éléments de base et la classe duale par Poincaré du cycle que cette condition définit ; par exemple, on pourra écrire, d'après le § 2.2.1,  $g = s_1(\eta)$ . On écrira aussi  $t$  pour  $c_1(\gamma)$ .

Il suit de la définition même que  $pg = (-t)(-c_1(\eta))$ . D'autre part,  $p_g = t^2$  et on a vu au § 2.2.1 que  $g_e = c_2(\eta)$ . On a la relation

$$tc_1(\eta) = t^2 + c_2(\eta)$$

que l'on peut écrire encore :

$$pg = p^2 + p_g$$

qui est la formule I). Donc cette formule est exactement la relation par laquelle il faut quotienter  $H^*(\mathcal{G})[t]$  pour obtenir  $H^*(\mathcal{PS})$ .

### 3 Les formules de coïncidence

Si  $X \subset \mathbb{P}^1 \times \mathbb{P}^1$  est une courbe de bidegré  $(p, q)$ , la restriction de son équation à la diagonale est de degré  $p + q$ , et donc  $X$  rencontre cette diagonale en  $p + q$  points, comptés avec leur multiplicité. On peut exprimer ce calcul en disant que  $X$  est une famille à un paramètre de paires de points sur la droite, et qu'il y a  $p + q$  paires dont les points viennent à coïncider ; c'est ce qu'on appelle le *Principe de correspondance* de Chasles [1, Lemme I, page 1175].

On va généraliser cette formule en suivant [7, pages 42 et suivantes], en respectant la notation et son ambiguïté. On considère les paires de points de l'espace, en imaginant que si deux points d'une même paire viennent à coïncider, la droite qui les joint est encore bien déterminée. On appelle  $p$  et  $q$  les deux points d'une paire,  $g$  la droite qui les joint et  $\varepsilon$  la condition que  $p$  et  $q$  sont infiniment proches, mais déterminent encore la droite qui les joint.

On suppose donné un système à un paramètre  $X$  de telles paires de points. Notons que si on désigne encore par  $p$  le nombre de paires  $(P, Q) \in X$  telles que  $P$  soit dans un plan donné (condition que l'on note aussi  $p$ ), par  $q$  le nombre de paires telles que  $Q$  soit dans un plan donné (condition que l'on note aussi  $q$ ), alors  $X$  est de bidegré  $(p, q)$ .

Maintenant on se donne une droite  $\ell$  et on considère les paires de plans qui contiennent  $\ell$ , telles que le premier plan contient  $p$  et le deuxième  $q$ . Ces paires de plans forment une courbe  $Y$  dans l'espace des paires de plans par  $\ell$  (qui s'identifie à  $\mathbb{P}^1 \times \mathbb{P}^1$  ;  $Y$  est aussi de bidegré  $(p, q)$ ), de sorte que, par le principe de correspondance de Chasles, il y a

$$p + q$$

plans qui contiennent les deux points  $p$  et  $q$  d'une même paire. Parmi ces plans, on trouve d'une part les  $\varepsilon$  plans par  $\ell$  qui contiennent une paire du système  $X$ , dans laquelle les deux points de la paire coïncident, et d'autre part aussi les plans par  $\ell$  qui contiennent une droite  $g$  qui joint les deux points distincts d'une paire de  $X$  (i.e. la droite qui joint les deux points de la paire doit couper une droite fixée, à savoir la droite  $\ell$  – on note  $g$  une telle condition, comme d'habitude). On a donc la formule :

$$\varepsilon = p + q - g \quad .$$

Cette formule se révèle très utile pour établir des formules énumératives concernant les positions spéciales de droites par rapport à une surface, par exemple. Pour la justifier, considérons l'espace  $\mathbb{P}^3 \tilde{\times} \mathbb{P}^3$  obtenu en éclatant la diagonale  $\Delta$  dans  $\mathbb{P}^3 \times \mathbb{P}^3$ . L'application qui à  $(P, Q) \in \mathbb{P}^3 \times \mathbb{P}^3 \setminus \Delta$  associe la droite par  $P$  et  $Q$  s'étend en une application  $\varphi : \mathbb{P}^3 \tilde{\times} \mathbb{P}^3 \rightarrow \mathcal{G}$ , qui est telle que

$$\varphi^*(\Lambda^2(\eta)) = \gamma^* \otimes (\mathcal{O}(1)_1 \otimes \mathcal{O}(1)_2)$$

où  $\gamma$  désigne le fibré associé à la diagonale éclatée,  $\mathcal{O}(1)_i$  le pull-back par la projection de  $\mathbb{P}^3 \tilde{\times} \mathbb{P}^3$  sur le  $i$ -ème facteur de  $\mathbb{P}^3 \times \mathbb{P}^3$  du fibré des 1-formes homogènes sur  $\mathbb{P}^3$ . On peut s'en convaincre par exemple en utilisant le plongement de Plücker  $\psi$  de la grassmannienne  $\mathcal{G}$  dans  $\mathbb{P}^5$ , qui est défini ainsi : si  $g \in \mathcal{G}$ , on choisit  $P, Q \in g$  distincts ; si  $P = [x_1, \dots, x_4]$ ,  $Q = [y_1, \dots, y_4]$ , et  $x = (x_1, \dots, x_4)$ ,  $y = (y_1, \dots, y_4)$ , on pose

$$\psi(g) = [x \wedge y] \in \mathbb{P}(\Lambda^2(\mathbb{C}^4)) \simeq \mathbb{P}^5 \quad .$$

On vérifie que  $\psi$  est bien défini et qu'elle définit un plongement, dont l'image est

$$\{[P \wedge Q] \in \mathbb{P}(\Lambda^2(\mathbb{C}^4)) \mid P \wedge Q \neq 0\} \quad ,$$

et on peut l'identifier à  $\mathcal{G}$  ; notons que le fibré  $\mathcal{O}(1)_{\mathbb{P}(\Lambda^2(\mathbb{C}^4))}$  des 1-formes homogènes sur  $\mathbb{P}(\Lambda^2(\mathbb{C}^4))$  est transporté par  $\psi$  sur  $\Lambda^2(\eta^*)$ . Considérons l'application

$$\Phi : \mathbb{C}^4 \times \mathbb{C}^4 \rightarrow \Lambda^2(\mathbb{C}^4) \quad , \quad (x, y) \mapsto x \wedge y \quad .$$

Sa dérivée par rapport à  $x$ , en un point  $(y, y)$ ,  $y \neq 0$ , s'écrit  $v \mapsto v \wedge y$ , qui a pour noyau la droite par  $y$ . Il suit facilement de là que  $\Phi$  induit un morphisme

$$\varphi : \mathbb{P}^3 \tilde{\times} \mathbb{P}^3 \rightarrow \mathcal{G} \quad \text{avec} \quad \varphi^*(\Lambda^2(\eta^*)) \simeq \gamma^* \otimes (\mathcal{O}(1)_1 \otimes \mathcal{O}(1)_2) \quad .$$



Avec un effort supplémentaire, on peut même montrer que

$$\varphi^*(\eta) = (\gamma^* \otimes \mathcal{O}_1(-1)) \oplus \mathcal{O}_2(-1)$$

On se souvient maintenant que la classe duale à  $\Omega_g$  est  $s_1(\eta) = -c_1(\eta)$ ; or

$$\varphi^*(-c_1(\eta)) = c_1(\gamma^* \otimes \mathcal{O}(1)_1 \otimes \mathcal{O}(1)_2)$$

et en posant  $t_i = c_1(\mathcal{O}(1)_i)$ ,  $i = 1, 2$ ,  $\varepsilon = c_1(\gamma)$ , on obtient :

$$\varphi^*(-c_1(\eta)) = t_1 + t_2 - \varepsilon \quad .$$

Pour retrouver la formule de coïncidence de Schubert, il faut encore remarquer que ce qu'on a noté  $g$  dans ce contexte correspond à  $\varphi^*(s_1(\eta))$ , i.e. la condition que la droite par  $P$  et  $Q$  touche une droite donnée  $g$ , et que  $p$  et  $q$  correspondent à  $t_1$  et  $t_2$

**Calculs de coïncidences des intersections d'une droite avec une surface donnée** Soit  $F \subset \mathbb{P}^3$  une surface lisse de degré  $n$ ; suivant [7, page 229], on désigne par  $p_1, p_2, \dots, p_n$  les points d'intersection d'une droite  $g$  avec  $F$ . On note  $\varepsilon_2$  la condition que 2 de ces points coïncident. Alors, il suit de la formule de coïncidence que

$$\varepsilon_2 = p_1 + p_2 - g$$

et en multipliant par  $g_s$  :

$$\varepsilon_2 g_s = p_1 g_s + p_2 g_s - G$$

en utilisant la formule III) :

$$\varepsilon_2 g_s = G + p_1^3 g + G + p_2^3 g - G = G$$

car  $p^3 = 0$  (l'intersection générique de 3 plans et une surface est vide). Il reste à interpréter le symbole  $G$  dans ce contexte : ce sont les paires de points distincts sur l'intersection d'une droite générique et la surface, ce qui donne  $n(n-1)$  paires. On retrouve la formule de la classe d'une courbe plane lisse de degré  $n$ ; en effet,  $\varepsilon_2 g_s$  représente les droites tangentes à la surface appartenant à un pinceau donné, ce qui revient au même que de considérer les droites du pinceau tangentes à la courbe intersection du plan du pinceau avec la surface, c'est-à-dire les droites par le sommet du pinceau tangentes à cette courbe.

**Justification avec la cohomologie** Désignons par  $F \tilde{\times} F$  l'éclatement de  $F \times F$  le long de la diagonale. On a que  $F \tilde{\times} F \subset \mathbb{P}^3 \tilde{\times} \mathbb{P}^3$ , et on aimerait connaître sa classe duale; le résultat suivant va nous y aider. Si  $Z$  est une variété lisse, on notera par  $TZ$  son fibré tangent, et par  $TZ_x$  sa fibre au-dessus de  $x \in Z$ .

**Proposition.** *Soit  $X$  une variété lisse,  $A, Y \subset X$  des sous-variétés lisses, telles que  $A \cap Y$  est lisse et que pour tout  $x \in A \cap Y$ ,  $TA_x \cap TY_x = T(A \cap Y)_x$ , de sorte que l'on a une suite exacte de fibrés :*

$$0 \rightarrow T(A \cap Y) \rightarrow TA|_{A \cap Y} \oplus TY|_{A \cap Y} \rightarrow TX|_{A \cap Y} \rightarrow E \rightarrow 0$$

où  $E$  est défini par cette suite exacte; on l'appelle fibré excès et on note  $k$  son rang. Alors, en désignant par :

$\delta_{U,V}$	la classe duale à $U$ dans $V$
$\tilde{X}$	l'éclaté de $X$ le long de $Y$
$\tilde{A}$	le transformé strict de $A$
$\varepsilon$	la classe duale au diviseur exceptionnel dans $\tilde{X}$
$p: \tilde{X} \rightarrow X$	la projection de l'éclatement
$j: \tilde{Y} \subset \tilde{X}$	l'inclusion naturelle

on a :

$$\delta_{\tilde{A}, \tilde{X}} = p^*(\delta_{A,X}) - \cdot j! \left( (p|_{\tilde{Y}})^*(\delta_{A \cap Y, Y}) \cdot \underbrace{\sum_{i=0}^{k-1} (-1)^i \varepsilon^i c_{k-i-1}(E)}_{=c_{k-1}(E/\gamma)} \right)$$

C'est un cas particulier de [2, Theorem 6.7].

Comme application, on considère les sous-variétés  $F \times F$  et  $\Delta$  de  $\mathbb{P}^3 \times \mathbb{P}^3$ . Dans ce cas, le fibré excès s'identifie au fibré normal à  $F$  dans  $\mathbb{P}^3$ , qui est  $\mathcal{O}(n)_\Delta$ , et  $\delta_{F, \mathbb{P}^3} = nt$ , donc  $\delta_{F \times F, \mathbb{P}^3 \times \mathbb{P}^3} = nt_1 \cdot nt_2 = n^2 t_1 t_2$ . Il en suit que

$$(\heartsuit) \quad \delta_{F \tilde{\times} F, \mathbb{P}^3 \tilde{\times} \mathbb{P}^3} = n^2 t_1 t_2 - nt\varepsilon$$

où  $t$  désigne indifféremment  $t_1$  ou  $t_2$ , puisque  $\varepsilon t_1 = \varepsilon t_2$ . On peut aussi se convaincre de cette égalité de la façon suivante ; on désigne par  $p : \mathbb{P}^3 \tilde{\times} \mathbb{P}^3 \rightarrow \mathbb{P}^3 \times \mathbb{P}^3$  la projection d'éclatement et  $\tilde{\Delta}_F = \tilde{\Delta} \cap^{-1}(F \times F \cap \Delta)$ . Alors :

$$p^{-1}(F \times F) = F \tilde{\times} F \cup \tilde{\Delta}_F \quad .$$

En passant aux classe duales, on voit que

$$\delta_{F \times F, \mathbb{P}^3 \times \mathbb{P}^3} = \delta_{F \tilde{\times} F, \mathbb{P}^3 \tilde{\times} \mathbb{P}^3} + \delta_{\tilde{\Delta}_F, \mathbb{P}^3 \tilde{\times} \mathbb{P}^3}$$

et

$$\delta_{\tilde{\Delta}_F, \mathbb{P}^3 \tilde{\times} \mathbb{P}^3} = \delta_{\tilde{\Delta}_F, \tilde{\Delta}} \cdot \delta_{\tilde{\Delta}, \mathbb{P}^3 \tilde{\times} \mathbb{P}^3} = (nt) \cdot \varepsilon$$

d'où la formule  $\heartsuit$ .

En particulier, en prenant  $n = 1$ , i.e.  $F$  est un plan, on obtient que

$$\delta_{\varphi^{-1}(\mathcal{O}_e)} = t_1 t_2 - t\varepsilon \quad .$$

Or  $g_s = gg_e$ , donc  $\varphi^*(g_s) = \varphi^*(g)\varphi^*(g_e) = (t_1 + t_2 - \varepsilon)(t_1 t_2 - t\varepsilon)$ . Pour calculer  $\varepsilon_2 g_s$  on doit encore multiplier  $\varphi^*(g_s)\varepsilon$  par  $\delta_{F \tilde{\times} F, \mathbb{P}^3 \tilde{\times} \mathbb{P}^3}$  et évaluer cette classe sur  $\mathbb{P}^3 \tilde{\times} \mathbb{P}^3$ , ce qui revient à évaluer  $\delta_{F \tilde{\times} F, \mathbb{P}^3 \tilde{\times} \mathbb{P}^3} \varphi^*(g_s)$  sur  $\tilde{\Delta}$  ; or

$$\langle \delta_{F \tilde{\times} F, \mathbb{P}^3 \tilde{\times} \mathbb{P}^3} \cdot \varphi^*(g_s), \tilde{\Delta} \rangle = \langle (n^2 t_1 t_2 - nt\varepsilon)(t_1 t_2 t\varepsilon)(t_1 t_2 - \varepsilon), \tilde{\Delta} \rangle = \langle (n^2 t^2 - nt\varepsilon)(t^2 - t\varepsilon)(2t - 2), \tilde{\Delta} \rangle$$

et comme  $t^4 = 0$ ,  $(n^2 t^2 - nt\varepsilon)(t^2 - t\varepsilon)(2t - 2) = t^2(-n\varepsilon^3 + \varepsilon^2(n^2 t + 3nt))$ . Au lieu d'évaluer sur  $\tilde{\Delta}$ , on peut appliquer  $\pi_!$  et évaluer sur  $\mathbb{P}^3$ , où  $\pi : \tilde{\Delta} \rightarrow \mathbb{P}^3$  est la projection naturelle, qui n'est autre que la projection du fibré en projective associé à  $T\mathbb{P}^3$  ; on a :

$$\pi_!(\varepsilon^2) = 1 \quad , \quad \pi_!(\varepsilon^3) = c_1(T\mathbb{P}^3) = 4t$$

(cela suit par exemple de la définition même des classes de Segre dans [2, § 3.1]) et donc

$$\langle t^2(-n\varepsilon + \varepsilon^2(n^2 t + 3nt)), \tilde{\Delta} \rangle = \langle t^3(-4n + n^2 + 3n), \mathbb{P}^3 \rangle = n(n-1) \quad .$$

**Droites bitangentes** Voici un dernier exemple, que nous traiterons à la Schubert uniquement ([7, page 229]). On note par  $\varepsilon_{22}$  la condition qu'une droite est tangente en deux points de la surface  $F$  ; c'est donc la condition que, parmi les points  $p_1, \dots, p_n$ , intersection de la droite avec  $F$ , deux paires coïncident, disons  $p_1, p_2$  et  $p_3, p_4$ . Il suit du principe de coïncidence que :

$$2 \cdot \varepsilon_{22} = (p_1 + p_2 - g)(p_3 + p_4 - g)$$

(le coefficient 2 venant du fait que l'on peut échanger le rôle de  $(p_1, p_2)$  et  $(p_3, p_4)$ ), soit

$$2 \cdot \varepsilon_{22} = p_1 p_3 + p_1 p_4 + p_2 p_3 + p_2 p_4 - g p_1 - g p_2 - g p_3 - g p_4 + \underbrace{g^2}_{=g_e + g_p} \quad .$$

Les symboles  $p_i p_j$ ,  $i \neq j$ , ont tous la même signification, de même que les symboles  $g p_i$  ; on peut donc écrire :

$$2 \cdot \varepsilon_{22} = 4p_1 p_3 - 4g p_1 + g_e + g_p \quad .$$

On multiplie maintenant par  $g_e$  :  $\varepsilon_{22} g_e$  désigne les droites bitangentes à la surface, situées dans un plan donné ; il s'agit donc des droites bitangentes à la courbe plane intersection de la surface avec le plan. On a :

$$2 \cdot \varepsilon_{22} g_e = 4p_1 p_3 g_e - 4p_1 g g_e + g_p g_e = 4p_1 p_3 g_e - 4p_1 g_s + G \stackrel{(\text{par III})}{=} 4p_1 p_3 g_e - 4p_1^3 g - 3G \quad .$$

Déterminons  $p_1p_3g_e$ . En fait, nous sommes en train de travailler dans

$$(F \tilde{\times} F) \times (F \tilde{\times} F) \times \mathcal{G}$$

dont un élément générique peut être représenté par  $((P_1, P_2), (Q_1, Q_2), g)$ , avec  $P_i, Q_i \in F \cap g$ . La condition  $p_i$  demande que  $P_i$  soit dans un plan  $e_i$ ,  $i = 1, 3$ , et  $g_e$  demande que  $g$  soit dans un plan  $e$ . Or  $e \cap e_i$  coupe  $F$  en  $n$  points,  $i = 1, 3$ ; donc la droite des configurations satisfaisant  $p_1p_3g$  est déterminée par l'une des  $n^2$  paires de points,  $P_1$  sur  $e \cap e_1 \cap F$  et  $P_3$  sur  $e \cap e_3 \cap F$ ; pour un tel choix de  $P_1$  et  $P_3$ , on peut encore choisir  $P_2$  et  $P_4$  parmi les  $n - 2$  points restants sur la droite. Il y a donc

$$n^2(n - 2)(n - 3)$$

configurations possibles. Pour déterminer  $G$ , il faut remarquer que pour une droite  $g$  fixée, il y a en tout  $n(n - 1)(n - 2)(n - 3)$  paires de points distincts dans  $g \cap F$ . Enfin,  $p_1^3 = 0$ . On obtient alors

$$2\varepsilon_{22g_e} = 4n^2(n - 2)(n - 3) - 3n(n - 1)(n - 2)(n - 3)$$

et donc

$$\varepsilon_{22g_e} = \frac{1}{2}n(n - 2)(n - 3)(n + 3) \quad .$$

## Références

- [1] Michel Chasles. Considérations sur la méthode générale exposée dans la séance du 15 février-...-Procédés généraux de démonstration. *Comptes Rendus Acad. Sc.*, 58 :1167–1175, 1864.
- [2] William Fulton. *Intersection theory*. Springer Verlag, Berlin, 1984.
- [3] Maxim E. Kazarian. Multisingularities, cobordisms, and enumerative geometry. *Uspekhi Math. Nauk*, 4(58) :665–724, 2003.
- [4] Steve L. Kleiman. Rigorous foundations of Schubert's enumerative calculus. In *Mathematical developments arising from Hilbert problems*, volume 28 of *Proc. Sympos. Pure Math*, pages 445–482. Amer. Math. Soc., 1976.
- [5] Steve L. Kleiman and Dan Laksov. Schubert calculus. *American Mathematical Monthly*, 79 :1061–1082, 1972.
- [6] John W. Milnor and James D. Stasheff. *Characteristic Classes*, volume 76 of *Annals of Mathematical Studies*. Princeton University Press, Princeton, 1974.
- [7] Hermann Schubert. *Kalkül der abzählende Geometrie*. Teubner Verlag, Leipzig, 1789.
- [8] Robert Stong. *Notes on Cobordism Theory*. Mathematical Notes. Princeton University Press, Princeton, 1968.